

Laboratório 08: Acoplador direcional

Professor: Adolfo Fernandes Herbster

Aluno: Edilberto Elias Xavier Junior

Matrícula: 120210134

1. Objetivo

- gerar os componentes e objetos de simulação por meio da API Python;
- utilizar o Lumerical FDE para determinar o comprimento de acoplamento do acoplador direcional;
- utilizar o Lumerical FDTD para:
 - obter os desempenho final do dispositivo;
 - comparar os resultados gerados com aqueles gerados pelo varFDTD e;
 - gerar seus parâmetros S;
- utilizar o Lumerical INTERCONNECT para simular o dispositivo utilizando os parâmetros S gerados no FDTD..

2. Atividades

- **Modelo de simulação**

Create Acoplador Direcional

```
sub_material = 'SiO2 (Glass) - Palik'

gap = 200*nm

x_span_waveguide = 25*um
y_span_waveguide = 0.450*um
z_span_waveguide = 0.22*um
x_waveguide = 0.0*um
y_waveguide = ((gap+y_span_waveguide)/2)
z_waveguide = 0.0*um
waveguide_material = 'Si (Silicon) - Palik'
radiu = 10*um
```

Python

```
modeApi.switchtolayout()

modeApi.deleteall()

modeApi.addrect()
modeApi.set('name', 'waveguide_topper')
modeApi.set('material', waveguide_material)
modeApi.set('x', x_waveguide)
modeApi.set('y', -y_waveguide)
modeApi.set('z', z_waveguide)
modeApi.set('x span', x_span_waveguide)
modeApi.set('y span', y_span_waveguide)
modeApi.set('z span', z_span_waveguide)

modeApi.copy()
modeApi.set('name', 'waveguide_upper')
modeApi.set('y', y_waveguide)
modeApi.set('x span', (x_span_waveguide-2*radius))

modeApi.addobject('90_bend_wg')
modeApi.set('name', '90_bend_left')
modeApi.set('material', waveguide_material)
modeApi.set('x', -(x_span_waveguide-2*radius)/2)
modeApi.set('y', (radius+y_waveguide))
modeApi.set('z', z_waveguide)
modeApi.set('radius', radius)
modeApi.set('base width', y_span_waveguide)
modeApi.set('base height', z_span_waveguide)
modeApi.set("first axis", 'z')
modeApi.set('rotation 1', 90)
modeApi.set('second axis', 'x')
modeApi.set('rotation 1', 180)

modeApi.copy()
modeApi.set('name', '90_bend_rigth')
modeApi.set('x', (x_span_waveguide-2*radius)/2)
modeApi.set('y', (radius+y_waveguide))
modeApi.set("first axis", 'z')
modeApi.set('rotation 1', -90)
```

Python



Solver FDE

```
fde_solver_material = sub_material
```

```
x_fde = 0.0*um
y_fde = 0.0*um
z_fde = 0.0*um
x_span_fde = 0*um
y_span_fde = 2.5*um
z_span_fde = 1*um
```

```
mesh_cells = 100
mesh_multiplier = 5
```

```
wavelength = 1550*nm
start_wavelength = 1550*nm
stop_wavelength = 1550*nm
```

```
modes = 4
```

Python

```
modeApi.switchtolayout()
```

```
modeApi.select('FDE')
modeApi.delete()
```

```
modeApi.addfde()
modeApi.set('solver type', '2D X normal')
modeApi.set('background material', fde_solver_material)
```

```
modeApi.set('x', x_fde)
modeApi.set('y', y_fde)
modeApi.set('z', z_fde)
modeApi.set('z span', z_span_fde)
modeApi.set('y span', y_span_fde)
```

```
modeApi.set('define z mesh by', 'number of mesh cells')
modeApi.set('mesh cells z', mesh_cells)
modeApi.set('define y mesh by', 'number of mesh cells')
modeApi.set('mesh cells y', mesh_cells)
```

```
modeApi.set('wavelength', wavelength)
```

```
modeApi.set('number of trial modes', modes)
```

```
modeApi.set('fit materials with multi-coefficient model', True)
modeApi.set('wavelength start', start_wavelength)
modeApi.set('wavelength stop', stop_wavelength)
```

```
modeApi.set('z min bc', 'PML')
modeApi.set('z max bc', 'PML')
modeApi.set('y min bc', 'PML')
modeApi.set('y max bc', 'PML')
```

Python

```
modeApi.switchtolayout()
```

```
modeApi.select('mesh')
modeApi.delete()
```

```
modeApi.addmesh()
modeApi.set('set mesh multiplier', True)
modeApi.set('x', x_fde)
modeApi.set('y', y_fde)
modeApi.set('z', z_fde)
modeApi.set('x span', x_span_fde)
modeApi.set('y span', y_span_fde)
modeApi.set('z span', z_span_fde)
modeApi.set('x mesh multiplier', mesh_multiplier)
modeApi.set('y mesh multiplier', mesh_multiplier)
modeApi.set('z mesh multiplier', mesh_multiplier)
```

Python



```
fdtd_solver_material = sub_material

x_fdt = 0.0*um
y_fdt = 5.0*um
z_fdt = 0.0*um
x_span_fdt = (x_span_waveguide_acopla+2*radius) + 2*um
y_span_fdt = 1.2*radius
z_span_fdt = 5*um

mesh_accuracy = 2

start_wavelength = 1500*nm
stop_wavelength = 1600*nm
num_frequency_points = 21

time_simulation = (np.pi*radius + x_span_waveguide_acopla + radius*2 + 5*um)*7/c + 200e-15
```

✓ 0.0s

Python

```
fdtdApi.switchtolayout()

fdtdApi.select('FDTD')
fdtdApi.delete()

fdtdApi.addfdtd()
fdtdApi.set('background material', fdtd_solver_material)

fdtdApi.set('x', x_fdt)
fdtdApi.set('y', y_fdt)
fdtdApi.set('z', z_fdt)
fdtdApi.set('x span', x_span_fdt)
fdtdApi.set('y span', y_span_fdt)
fdtdApi.set('z span', z_span_fdt)

fdtdApi.set('mesh accuracy', mesh_accuracy)
fdtdApi.set('simulation time', time_simulation)

fdtdApi.set('x min bc', 'PML')
fdtdApi.set('x max bc', 'PML')
fdtdApi.set('y min bc', 'PML')
fdtdApi.set('y max bc', 'PML')
fdtdApi.set('z min bc', 'Symmetric')
fdtdApi.set('z max bc', 'PML')

fdtdApi.set('global source wavelength start', start_wavelength)
fdtdApi.set('global source wavelength stop', stop_wavelength)
```

✓ 3.3s

Python

```
fdtdApi.switchtolayout()

fdtdApi.select('Monitor_E')
fdtdApi.delete()

fdtdApi.addprofile()
fdtdApi.set('name', 'Monitor_E')
fdtdApi.set('override global monitor settings', True)
fdtdApi.set('frequency points', num_frequency_points)
fdtdApi.set('x', x_fdt)
fdtdApi.set('y', y_fdt)
fdtdApi.set('x span', x_span_fdt)
fdtdApi.set('y span', y_span_fdt)
fdtdApi.set('z', z_fdt)
```

✓ 2.1s

Python



```
fdtdApi.switchtolayout()

fdtdApi.select('FDTD:ports')
fdtdApi.delete()

fdtdApi.addport()
fdtdApi.set('name', 'port_00')
fdtdApi.set('injection axis', 'y-axis')
fdtdApi.set('x', -(x_span_waveguide_acopla + 2*radius)/2)
fdtdApi.set('x span', y_span_waveguide*2)
fdtdApi.set('y', (radius + (y_span_waveguide + gap)/2))
fdtdApi.set('z', z_fdttd)
fdtdApi.set('z span', z_span_fdttd)
fdtdApi.set('direction', 'Backward')
fdtdApi.set('mode selection', 'fundamental TE mode')

fdtdApi.copy()
fdtdApi.set('name', 'port_01')
fdtdApi.set('x', (x_span_waveguide_acopla + 2*radius)/2)

fdtdApi.addport()
fdtdApi.set('name', 'port_10')
fdtdApi.set('injection axis', 'x-axis')
fdtdApi.set('x', -(x_span_waveguide_acopla + 2*radius)/2)
fdtdApi.set('y', -(y_span_waveguide + gap)/2)
fdtdApi.set('y span', y_span_waveguide*2)
fdtdApi.set('z', z_fdttd)
fdtdApi.set('z span', z_span_fdttd)
fdtdApi.set('mode selection', 'fundamental TE mode')
fdtdApi.set('direction', 'Forward')

fdtdApi.copy()
fdtdApi.set('name', 'port_11')
fdtdApi.set('x', (x_span_waveguide_acopla + 2*radius)/2)
fdtdApi.set('direction', 'Backward')

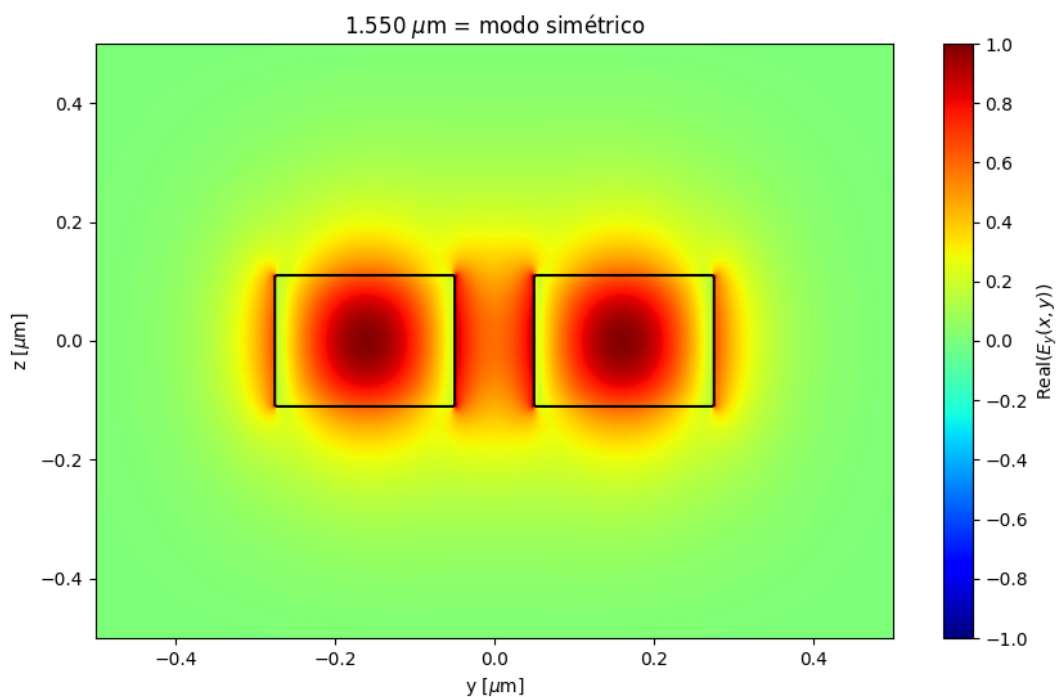
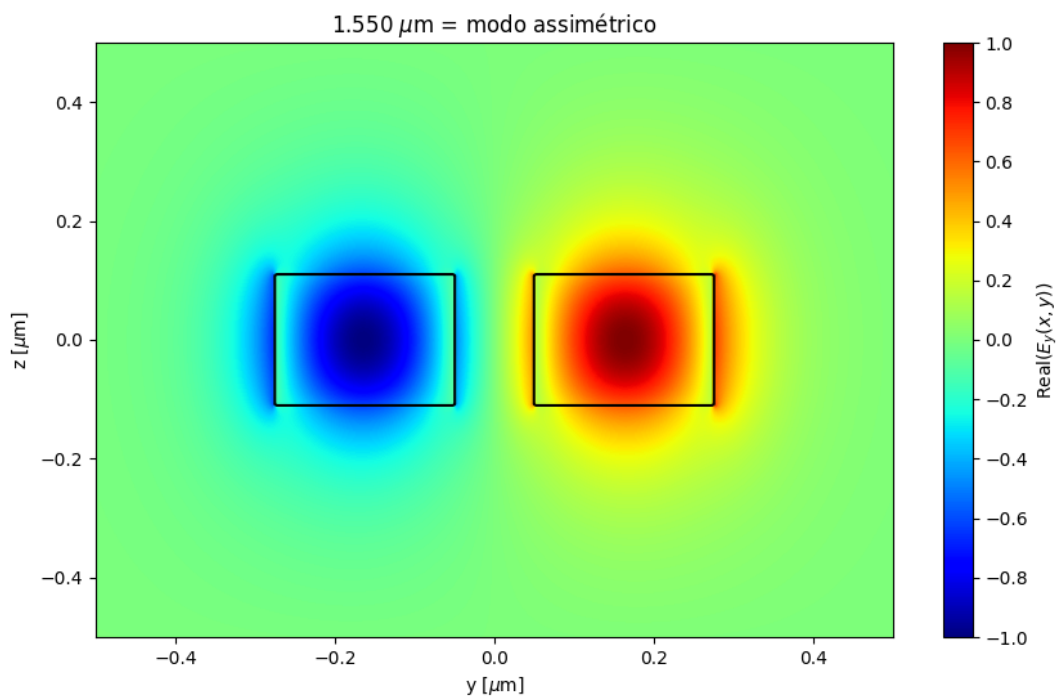
fdtdApi.select('FDTD:ports')
fdtdApi.set('monitor frequency points', num_frequency_points)
```

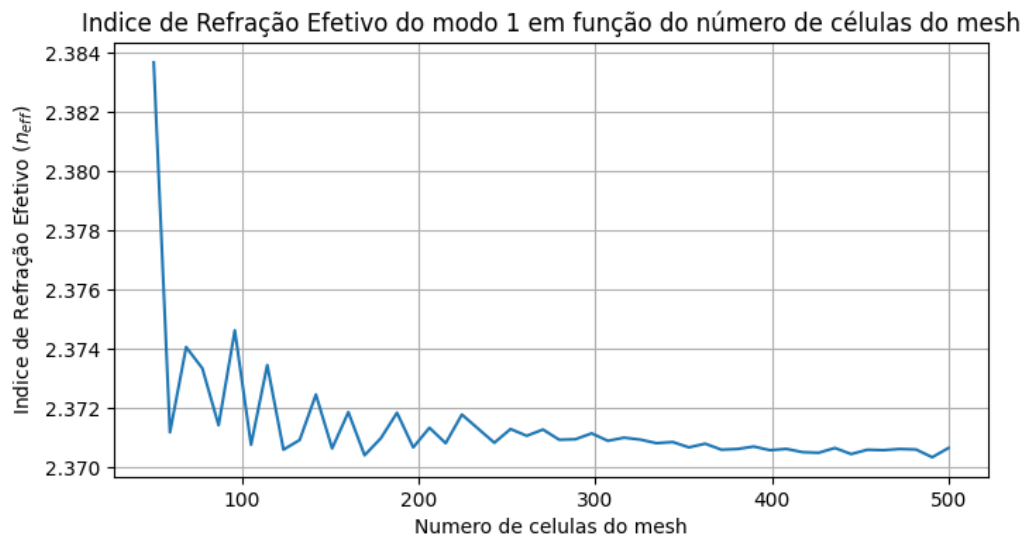
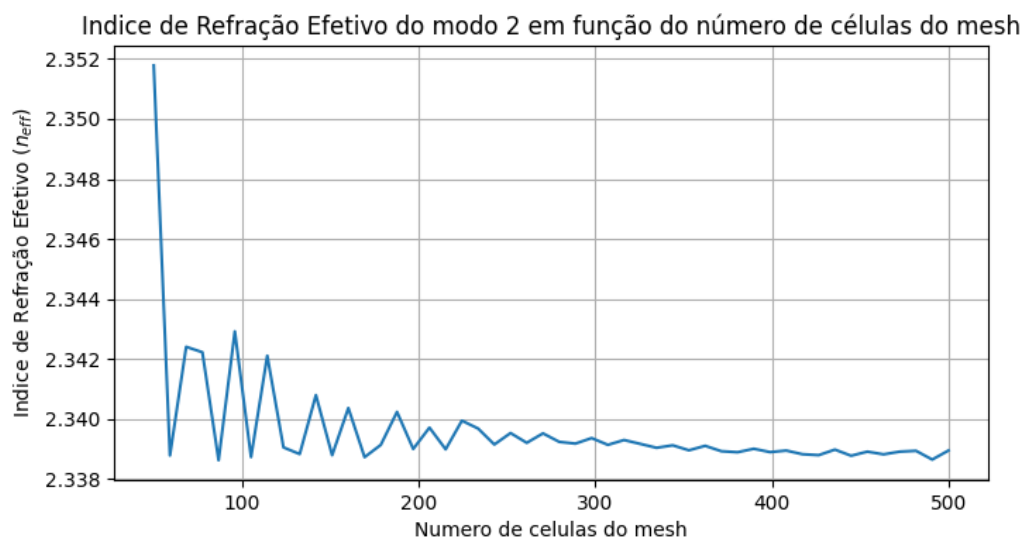
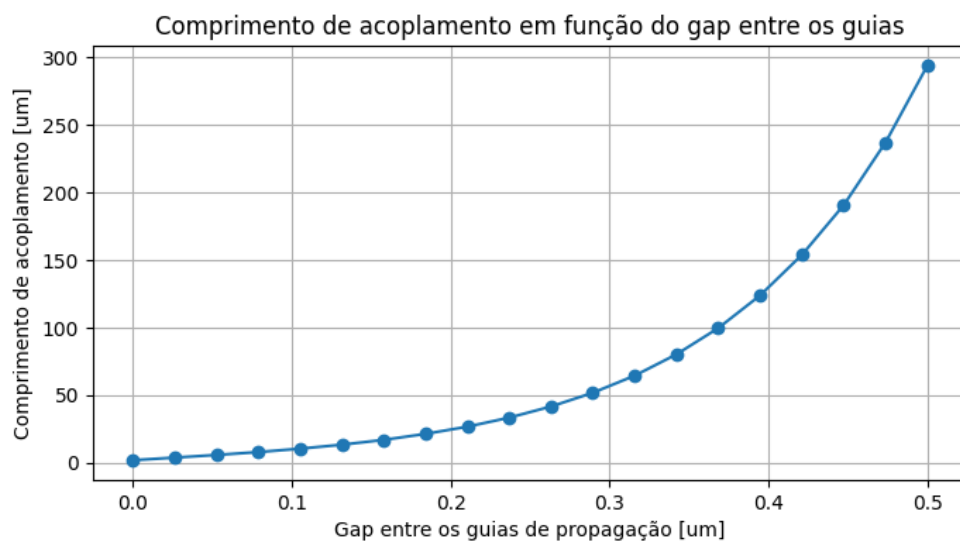
✓ 4.4s

Python



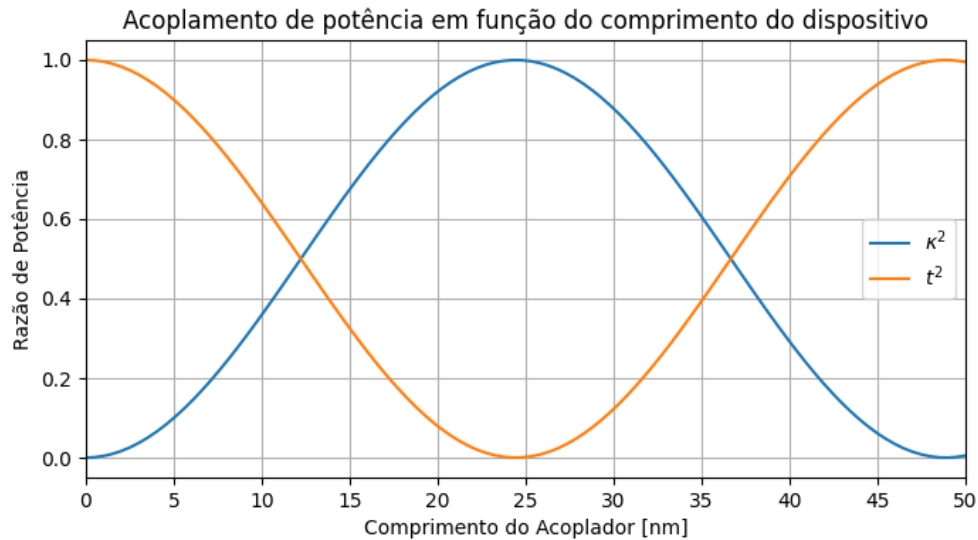
- **Simulação - solver FDE**
Simulação do dispositivo - características dos modos

**Perfil de Campo Elétrico - FDE – MODO 1****Perfil de Campo Elétrico – FDE – MODO 2**

**Análise de Convergência do mesh – MODO 1****Análise de Convergência do mesh – MODO 2****Análise - comprimento de acoplamento em função da distância entre guias****Comprimento do acoplador em função do gap entre os guias**

A partir do gráfico acima nota-se que quanto maior for a distância entre os guias (gap) maior terá que ser o comprimento do guia para o acoplador direcional.

Análise - acoplamento de potência em função do comprimento do dispositivo



Razão de Potência em Função do comprimento do acoplador

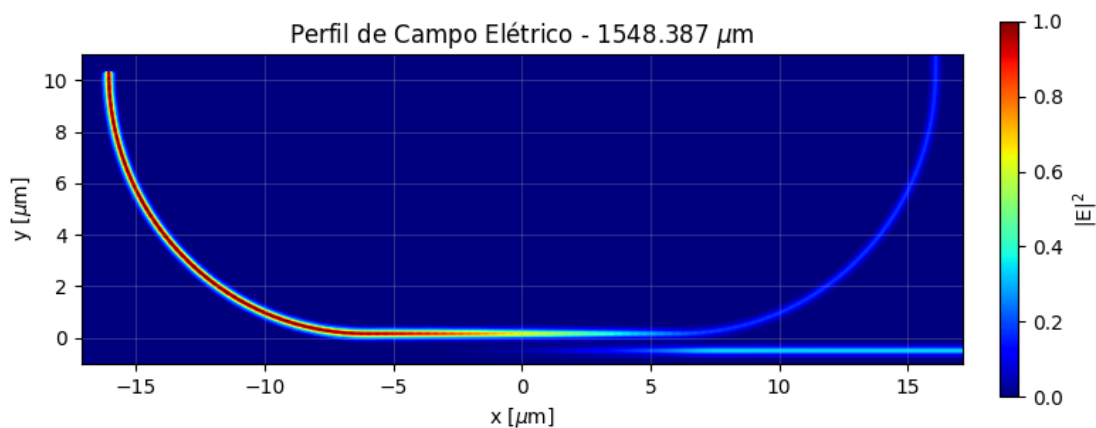
A partir do gráfico acima é possível determinar o menor comprimento para que se tenha o diversos tipos de razão de transferencia de pontencia entre os guias, como por exemplo:

$$L_{50/50} = 12.2208 \mu\text{m} - \text{para uma razão } 50/50$$

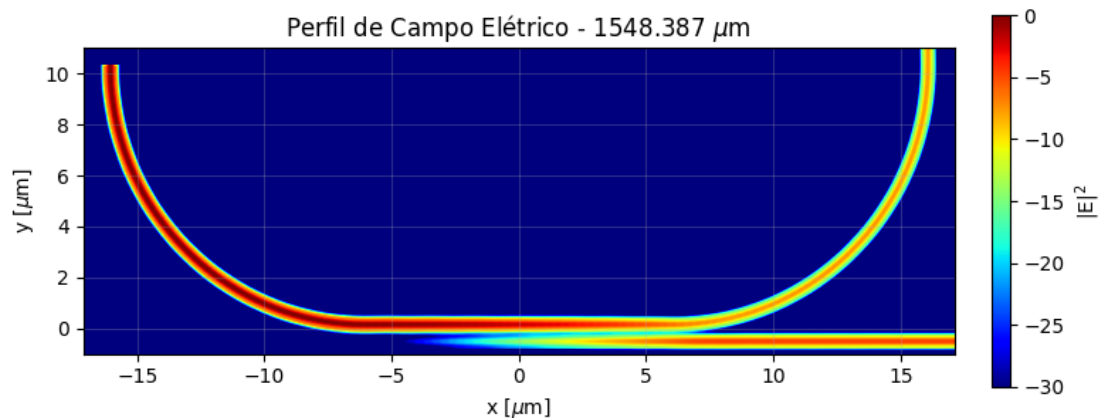
$$L_{95/05} = 20.9326 \mu\text{m} - \text{para uma razão } 95/05$$

$$L_{99/01} = 22.8830 \mu\text{m} - \text{para uma razão } 99/01$$

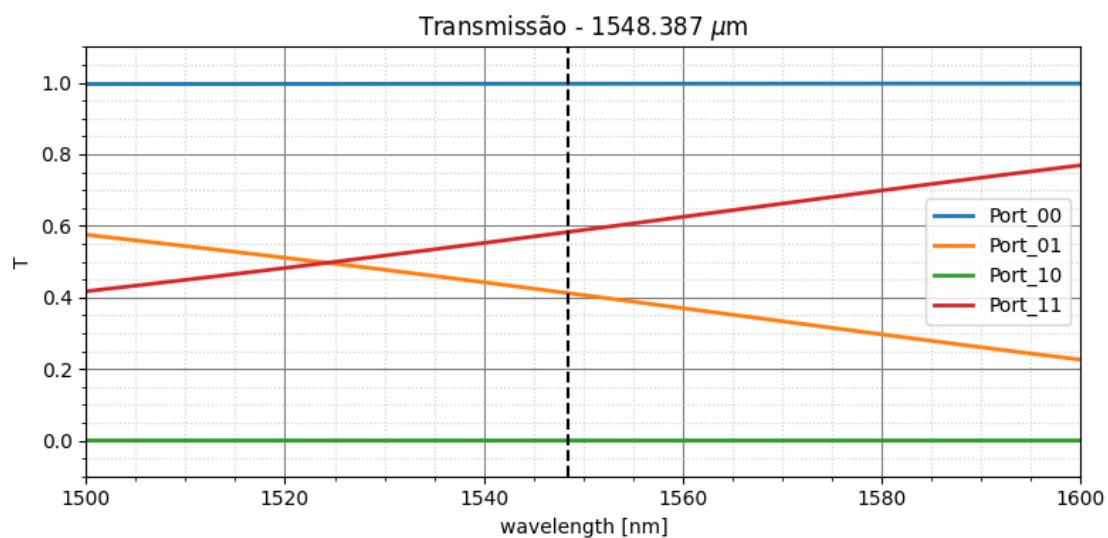
- **Simulação - solver FDTD**
Simulação do dispositivo – FDTD – MODO TE



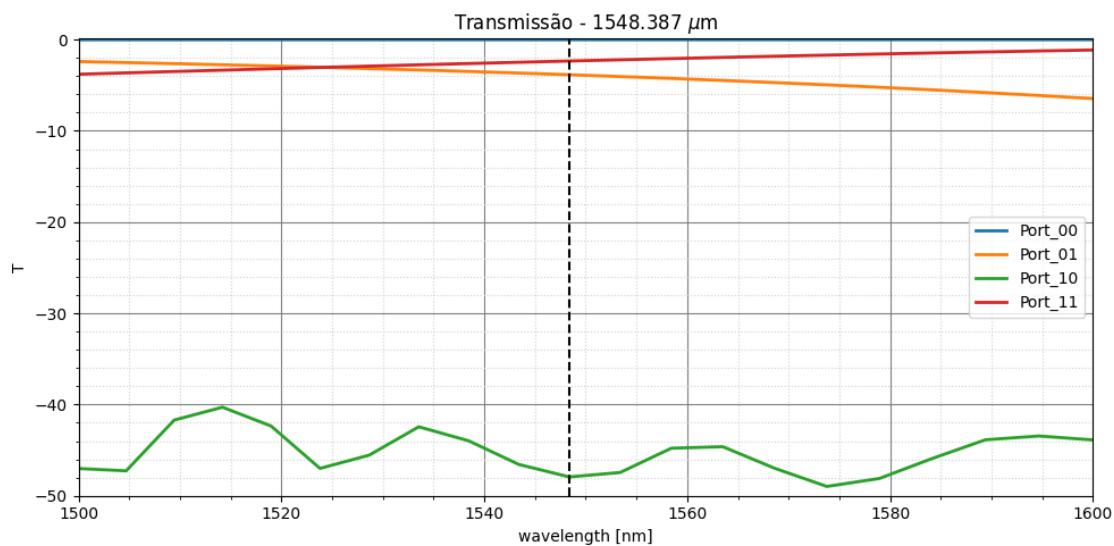
Perfil de Campo Elétrico – FDTD – Linear – TE_MODE



Perfil de Campo Elétrico – FDTD – LOG – TE_MODE



Transmissão – Linear – FDTD – TE_MODE



Transmissão – LOG – FDTD – TE_MODE

Aos 1550 nm, assim como em toda a faixa, a transmissão para cada porta é de:

Transmissão na Port_00 para 1550nm: 0.9969

Transmissão na Port_01 para 1550nm: 0.4061

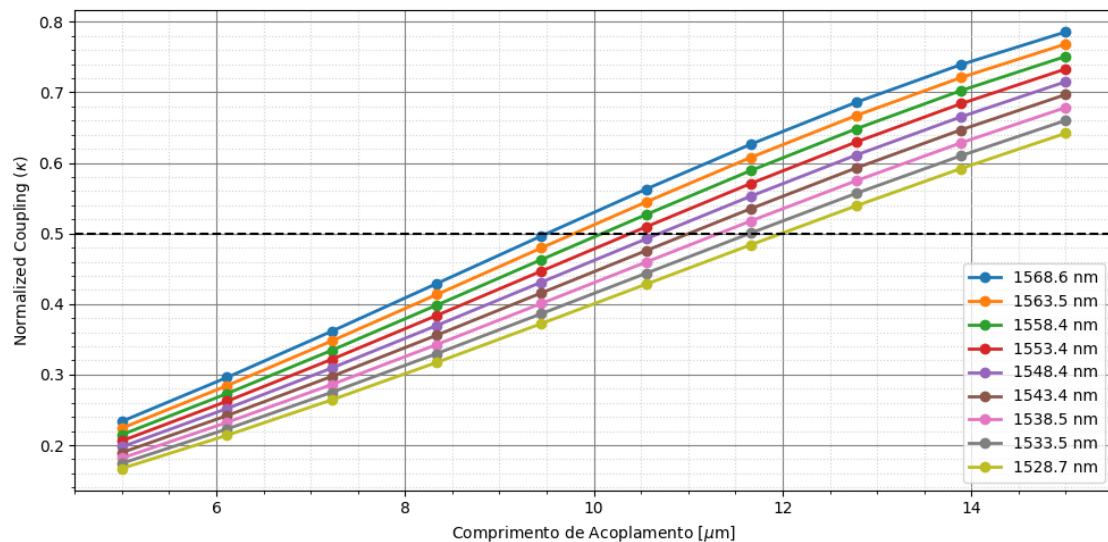
Transmissão na Port_10 para 1550nm: 0.0000

Transmissão na Port_11 para 1550nm: 0.5882

A perda por inserção, em dB, para o comprimento de onda de 1550 nm é de:

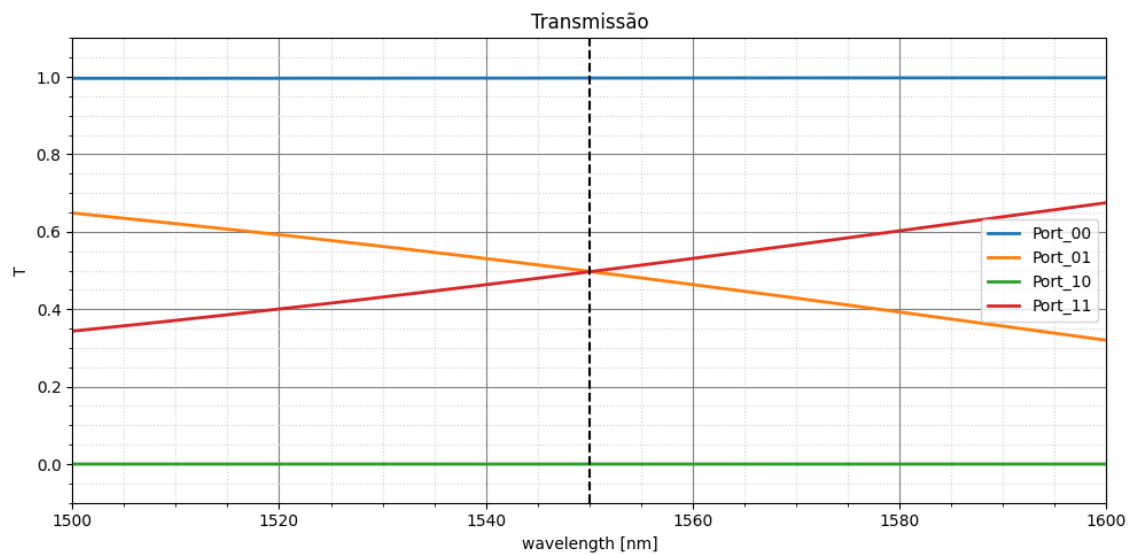
Perda de Inserção para 1550nm = -0.0248dB

Otimização do dispositivo

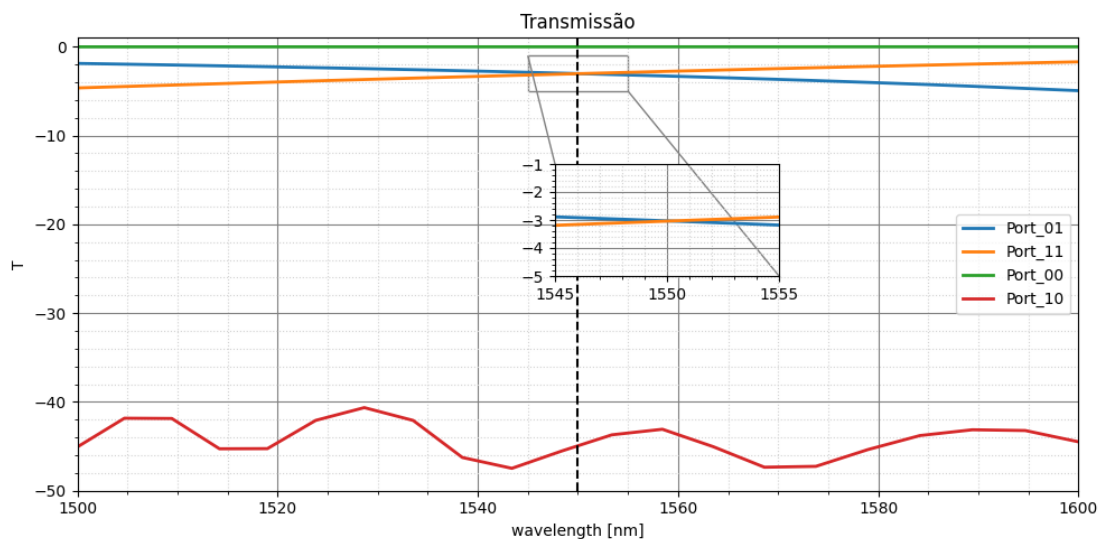


Comprimento de Acoplamento para cada percentual de potencia tranferida – TE_MODE

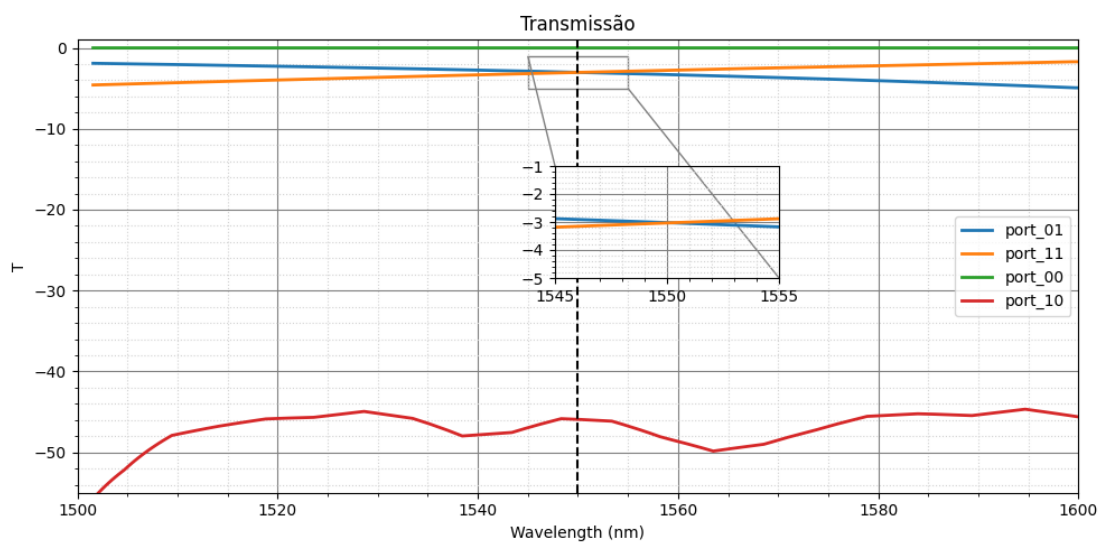
Como pode ser visto no gráfico acima o comprimento para uma razão 50/50 é de 10,53 microns



Transmissão Otimizada – FDTD – Linear – TE_MODE

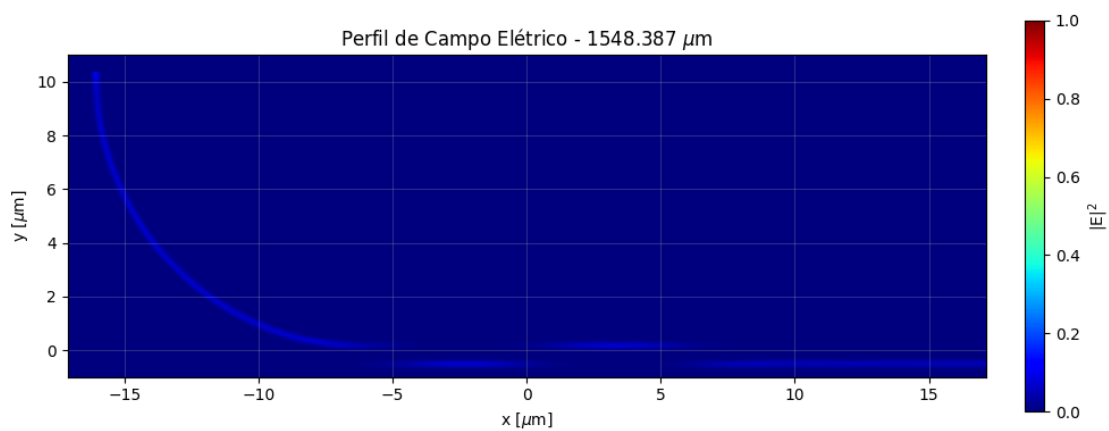


Transmissão Otimizada – FDTD – Log – TE_MODE

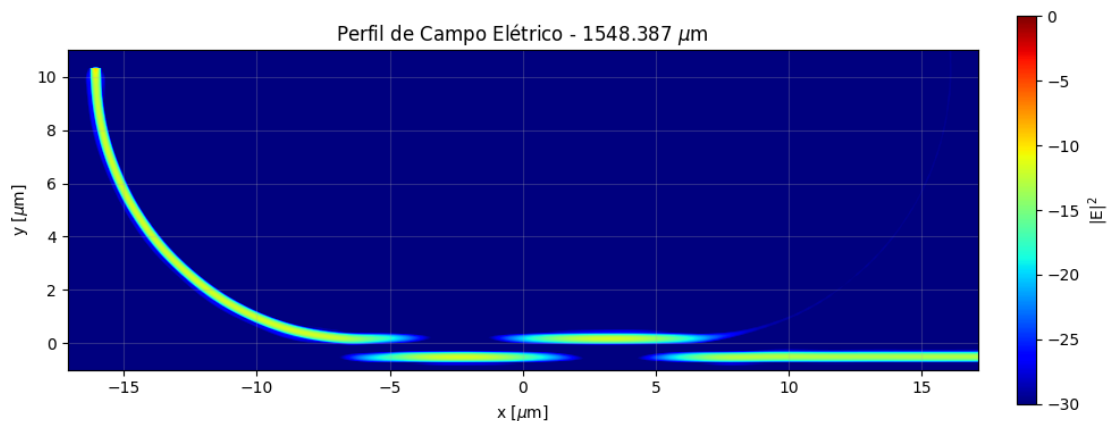


Transmissão Otimizada – INTERCONCT – Log – TE_MODE

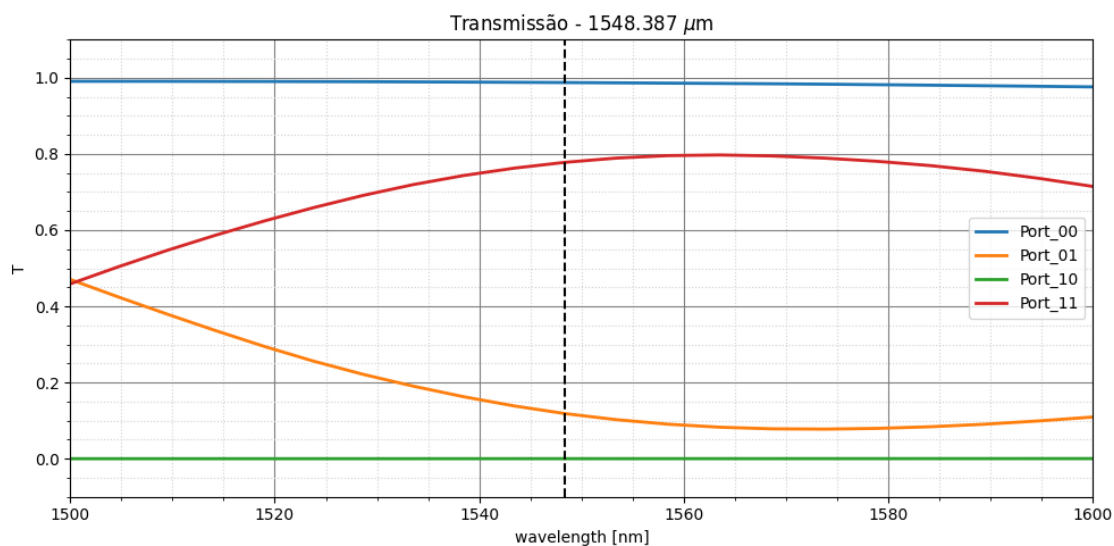
Simulação do dispositivo – FDTD – MODO TM



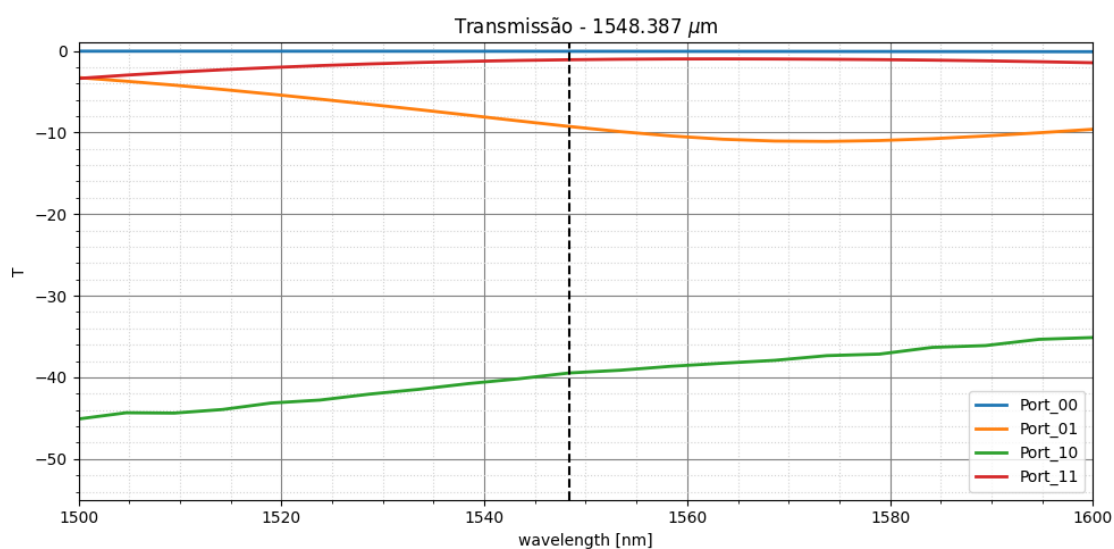
Perfil de Campo Elétrico - FDTD - TM_MODE - Linear



Perfil de Campo Elétrico - FDTD - TM_MODE - LOG



Transmissão - Linear – FDTD – TM_MODE



Transmissão - LOG – FDTD – TM_MODE

Aos 1550 nm, assim como em toda a faixa, a transmissão para cada porta é de:

Transmissão na Port_00 para 1550nm: 0.9872

Transmissão na Port_01 para 1550nm: 0.1133

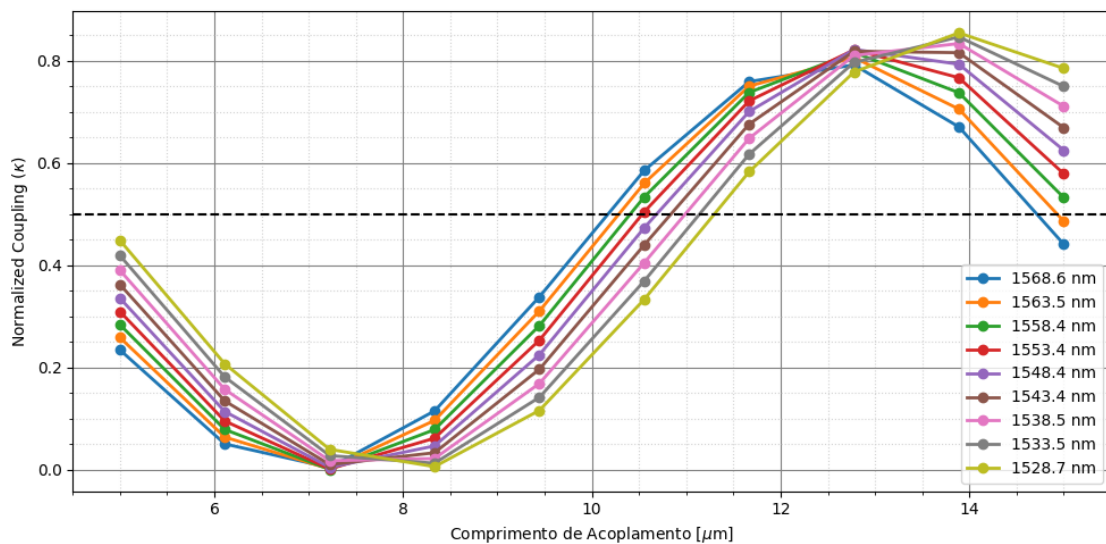
Transmissão na Port_10 para 1550nm: 0.0001

Transmissão na Port_11 para 1550nm: 0.7816

A perda por inserção, em dB, para o comprimento de onda de 1550 nm é de:

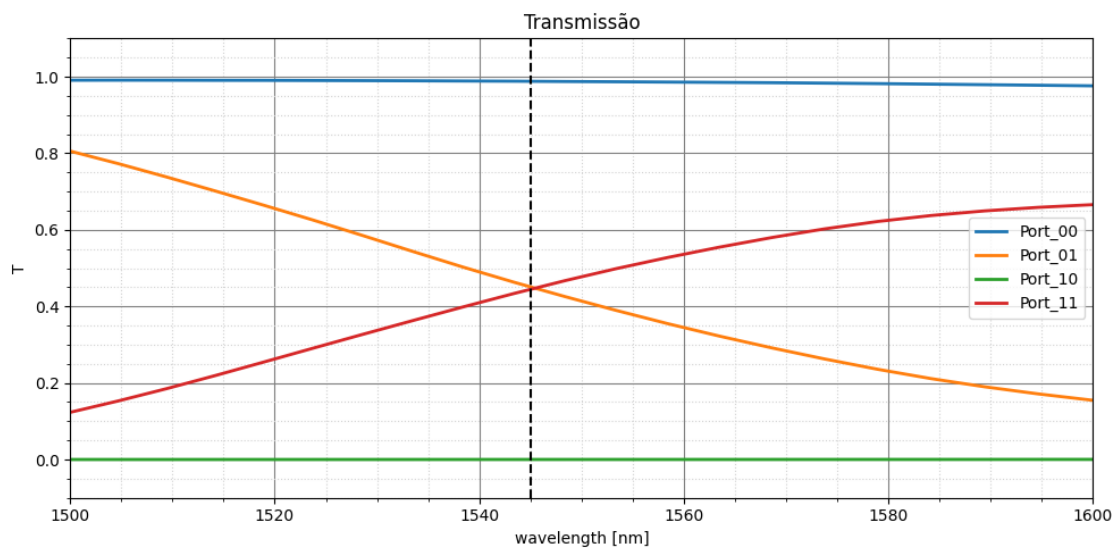
Perda de Inserção para 1550nm = -0.4824dB

Otimização do dispositivo

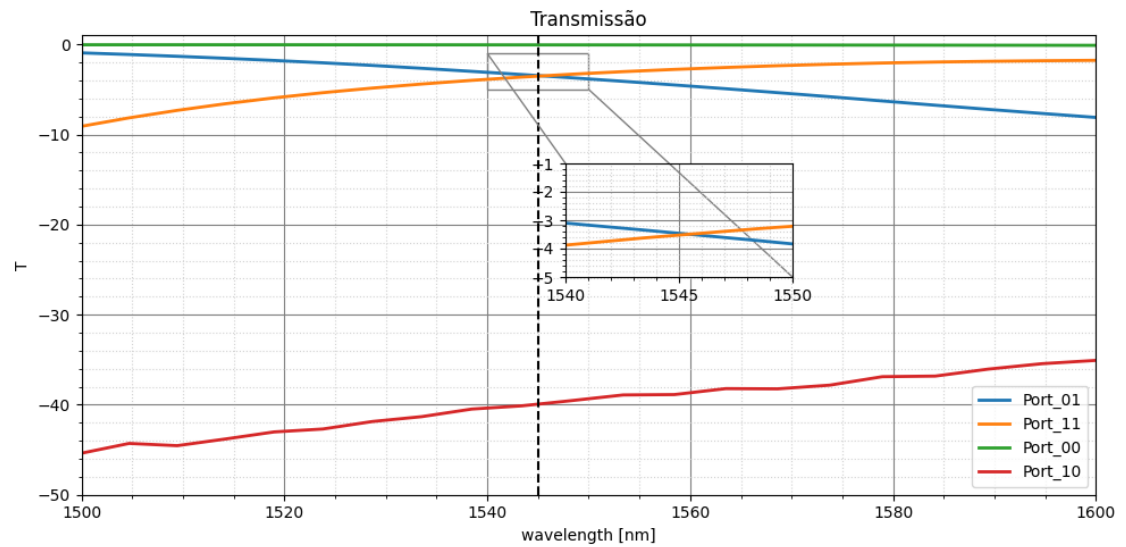
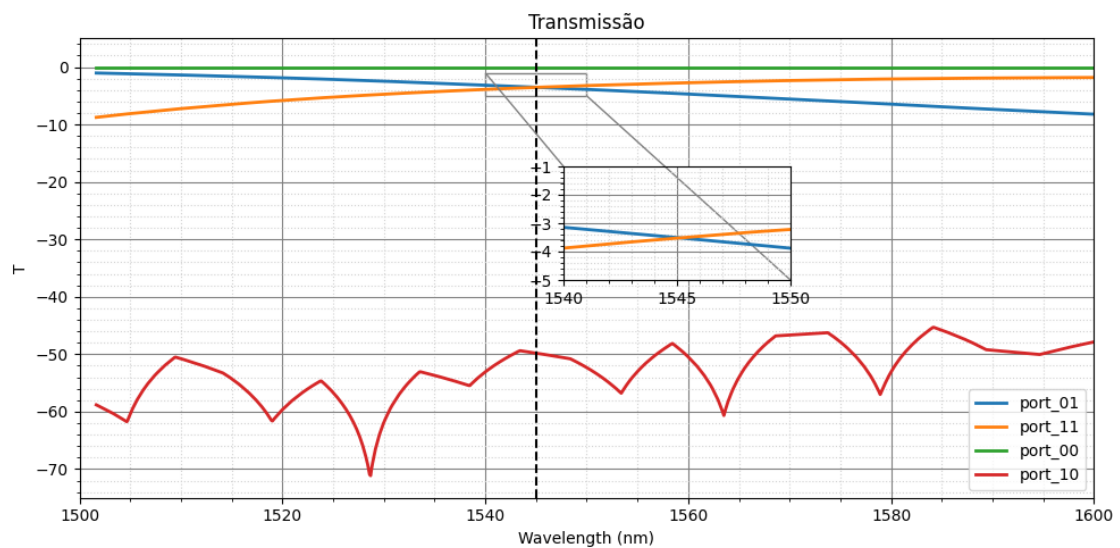


Comprimento de Acoplamento para cada percentual de potencia transferida

Como pode ser visto no gráfico acima o comprimento para uma razão 50/50 não é de 10,53 microns como era no modo TE. Abaixo estão o comportamento do modo TM para o comprimento do modo TE



Transmissão Otimizada – FDTD - Linear

**Transmissão Otimizada – FDTD – Log****Transmissão Otimizada – INTERCONCT – Log**

Referencias

- [1] <https://optics.ansys.com/hc/en-us/categories/360001998954-Scripting-Language>
- [2] <https://developer.ansys.com/docs/lumerical/python-lumapi>
- [3] <https://optics.ansys.com/hc/en-us/articles/360042305334-Grating-coupler>
- [4] <https://www.ansys.com/simulation-topics/what-are-s-parameters>